

بررسی شکل کanal ریشه دندان‌های پرهمولر فک پایین با توموگرافی کامپیوتراًی پرتو مخروطی

- ۱: استادیار، گروه اندودنتیکس، دانشکده دندان‌پزشکی، دانشگاه علوم پزشکی جندی شاپور اهواز، اهواز، ایران.
 ۲: دانشجوی دندان‌پزشکی، دانشکده دندان‌پزشکی، دانشگاه علوم پزشکی جندی شاپور اهواز، اهواز، ایران.
 ۳: نویسنده مسؤول: استادیار، گروه رادیولوژی دهان، فک و صورت، دانشکده دندان‌پزشکی، دانشگاه علوم پزشکی جندی شاپور اهواز، اهواز، ایران. Email: nastaranfarhadi@yahoo.com

پرینیان علوی‌نژاد^۱

بهرج چاروسایی^۲

نسترن فرهادی^۳

چکیده

مقدمه: آگاهی از آناتومی و شکل کanal ریشه دندان در درمان اندودنتیک مهم است. با استفاده از توموگرافی کامپیوتراًی پرتو مخروطی، بررسی کanal ریشه دندان در سطوح مختلف فضایی امکان‌پذیر می‌باشد. هدف از این مطالعه بررسی شیوع اشکال مختلف کanal ریشه پرهمولرهای فک پایین با استفاده از توموگرافی کامپیوتراًی پرتو مخروطی بود.

مواد و روش‌ها: در مطالعه توصیفی و گذشته‌نگر حاضر، تصاویر توموگرافی کامپیوتراًی پرتو مخروطی ۶۱ بیمار شامل ۱۵۰ دندان پرهمولر فک پایین (۷۵ پرهمولر اول و ۷۵ دندان پرهمولر دوم) انتخاب شد. مقاطع اگزیال با ضخامت و فاصله مقطع ۱ میلی‌متر بازسازی شد. یک اندودنتیست و یک رادیولوژیست شکل کanal ریشه دندان را در تصاویر بررسی کردند. طبقه‌بندی شکل کanal ریشه Weine شامل چهار گروه استفاده شد. داده‌ها جمع‌آوری و با استفاده از آمار توصیفی، شیوع انواع شکل کanal ریشه دندان‌های پرهمولر فک پایین تعیین شد.

یافته‌ها: از ۷۵ پرهمولر اول فک پایین مورد مطالعه، ۷۲ دندان (۹۶٪) نوع I، ۲ دندان (۲٪) نوع II، ۱ دندان (۱٪) نوع III بودند. در بین ۷۵ پرهمولر دوم فک پایین ۷۳ دندان (۹۷٪) نوع I، ۲ دندان (۲٪) نوع II بودند. نوع III و IV در پرهمولرهای دوم فک پایین مشاهده نشد.

نتیجه‌گیری: بر اساس نتایج مطالعه حاضر نوع I طبقه‌بندی Weine شایع‌ترین شکل کanal ریشه در پرهمولرهای اول و دوم فک پایین بود. علاوه بر این نوع IV نادرترین نوع کanal ریشه در پرهمولرهای فک پایین بود.

کلید واژه‌ها: فک پایین، دندان، توموگرافی کامپیوتراًی پرتو مخروطی.

تاریخ پذیرش: ۹۵/۷/۶

تاریخ اصلاح: ۹۵/۶/۲۸

تاریخ ارسال: ۹۵/۲/۳۰

استناد به مقاله: علوی‌نژاد پ، چاروسایی ب، فرهادی ن: بررسی شکل کanal ریشه دندان‌های پرهمولر فک پایین با توموگرافی کامپیوتراًی پرتو مخروطی. مجله دانشکده دندان‌پزشکی اصفهان، ۱۳۹۵، ۱۲، ۳۷۴-۳۸۱.

مقدمه

میان پره‌مولرها فک پایین یکی از دشوارترین دندان‌ها جهت انجام درمان ریشه به حساب می‌آیند (۱۴-۱۵). پره‌مولرها فک پایین عموماً جزیی از دندان‌های تک‌ریشه و تک کanalه محسوب می‌شوند. ریشه این دندان‌ها معمولاً در سطح مقطع بیضی شکل است (۱۵-۱۷). با این وجود تنوع زیادی در شکل کanal ریشه این دندان‌ها وجود دارد (۱۷-۱۹). وجود این تنوعات در شکل کanal دندان‌های پره‌مولر فک پایین و عدم آگاهی از آن می‌تواند یکی از علل شکست درمان ریشه در این دندان‌ها باشد (۱۱، ۱۴).

مطالعات زیادی وجود دارد که به بررسی شکل و تعداد ریشه‌ها و کanalهای ریشه دندان‌های قدامی و خلفی با استفاده از CBCT می‌پردازد (۲۰-۲۲). به عنوان مثال Zheng و همکاران (۲۰) در چین، شکل کanal و ریشه دندان مولر اول فک بالا را بررسی کرده و نتایج متنوعی را گزارش نمودند. همچنین Silva و همکاران (۲۱) در برزیل، از CBCT جهت بررسی شکل کanal مولرها فک پایین استفاده کردند. Han و همکاران (۲۲) نیز به بررسی شکل ریشه و کanal دندان‌های قدامی فک پایین و فک بالا در چین پرداختند. در مورد شکل ریشه و کanal پره‌مولرها نیز مطالعاتی در دسترس می‌باشد (۱۵-۱۸). بیشتر این مطالعات به صورت آزمایشگاهی و روی دندان‌های کشیده شده به دلایل مشکلات پریودنتال و ارتودنتیک انجام شده و نتایج متنوعی را به همراه داشته است (۱۶، ۱۵). در ایران نیز مطالعات محدودی وجود دارد که به بررسی تعداد و شکل ریشه‌ها و کanalهای ریشه دندان با CBCT پرداخته باشد (۲۳، ۲۴). به عنوان مثال امین سبحانی و همکاران (۲۳) شکل کanal و ریشه دندان‌های قدامی فک پایین را در تصاویر CBCT بیماران ایرانی بررسی کردند. میرزایی و همکاران (۲۴) نیز در تعداد، شکل و انحنای کanal و ریشه دندان‌های قدامی و خلفی فک پایین و پره‌مولرها و مولرها فک بالا را در تعدادی بیمار همدانی بررسی نمودند. آنها نشان دادند که بیشتر دندان‌های پره‌مولر فک پایین تک‌ریشه و تک کanal بودند (۲۴). در این مطالعه سعی بر این بود که با

تعداد ریشه‌ها و شکل کanal ریشه یک دندان ممکن است با توجه به جنسیت، سن و نژاد متفاوت باشد (۱-۳). آگاهی از شکل کanal ریشه و تنوعات آناتومیک احتمالی آن در درمان اندودنتیک اهمیت دارد. یکی از مهم‌ترین عوامل عدم موفقیت درمان ریشه، شناخت ناکافی از آناتومی داخلی دندان می‌باشد. این مسأله می‌تواند باعث بروز خطا در تشخیص و طرح درمان شود (۴-۶).

رادیوگرافی به عنوان یک ابزار تشخیصی در ارزیابی تعداد و شکل ریشه و بررسی دقیق شکل کanal ریشه دندان کمک‌کننده است. به عنوان مثال رادیوگرافی پری‌اپیکال به صورت متداول جهت بررسی کanal و ریشه دندان قبل از درمان اندودنتیک، در حین و بعد از آن استفاده می‌شود (۵-۷). این رادیوگرافی علی‌رغم مزایایی چون ارزان و دسترس بودن و مقدار تشبع پایین، دارای معایبی نیز می‌باشد. در واقع رادیوگرافی پری‌اپیکال، تصویری دو بعدی از یک ساختار سه‌بعدی فراهم می‌کند. این مسأله می‌تواند منجر به بدشکلی (Distortion) ساختار آناتومیک و تغییر ابعاد آن در تصویر شود. علاوه بر این روی همافتادگی ساختارهای آناتومیک مختلف ممکن است در روند تشخیص اختلال ایجاد کند (۸-۱۰). در مقابل، تصاویر توموگرافی کامپیوتربی پرتو مخروطی CBCT (Computed Tomography) آناتومیک را در سطوح فضایی مختلف فراهم می‌کند. این تصاویر قادر روی همافتادگی و بدشکلی شکل و ابعاد CBCT ساختار آناتومیک می‌باشند (۱-۴). علاوه بر این تصاویر با کیفیت، از شکل ریشه و کanalهای آن ارایه می‌کند که نسبت به تصاویر معمولی وضوح بالاتری دارد. همچنین مطالعات مختلف نشان داده است که تصاویر CBCT نسبت به تصاویر معمولی، در ک بهتری از آناتومی ریشه دندان و ساختار داخلی آن را فراهم می‌کند (۱-۳). دندان‌های دائمی تنوع زیادی در تعداد ریشه، تعداد و شکل کanalهای موجود در هر ریشه دارند (۱۱-۱۴). در این

داشتند از ابزار بزرگنمایی نرم افزار استفاده کنند و وضوح و روشنایی تصاویر را تغییر دهنند. در مواردی که توافق نظر بین دو مشاهده گر وجود نداشت، از یک اندودنتیست با تجربه دیگر جهت تأیید تشخیص کمک گرفته شد (۲۰، ۲۲). جهت بررسی شکل کanal ریشه پرهمولرهای اول و دوم فک پایین از طبقه‌بندی Weine استفاده شد (۲۵). سیستم کanal ریشه دندان‌های پرهمولر را به چهار نوع تقسیم‌بندی کرده است. در نوع I یک کanal منفرد از اتاق پالپ تا سوراخ اپیکال امتداد پیدا می‌کند. در نوع II دو کanal مجزا اتاق‌ک پالپ را ترک می‌کنند و قبل از رسیدن به اپکس برای تشکیل یک کanal به هم می‌پیوندند. در نوع III دو کanal مجزای مشخص به سمت اپکس گسترش می‌یابد و به دو سوراخ اپیکال مجزا ختم می‌شود. در نوع IV یک کanal از اتاق‌ک پالپ خارج و قبل از رسیدن به اپکس به دو کanal مشخص با سوراخ‌های اپیکال مجزا تقسیم می‌شود. مشاهده گرها بر اساس این طبقه‌بندی، شکل کanal ریشه ۷۵ پرهمولر اول و ۷۵ پرهمولر فک پایین را بررسی نمودند. داده‌ها جمع‌آوری و با استفاده از آمار توصیفی شیوه اندودنتیستی شکل کanal ریشه پرهمولرهای فک پایین بیماران اهوازی مشخص شد.

یافته‌ها

بررسی شکل کanalها بر اساس طبقه‌بندی Weine نشان داد که از ۷۵ دندان پرهمولر اول فک پایین مورد مطالعه، ۷۲ دندان دندان (۹۶٪) نوع I، ۲ دندان (۲/۶۶٪) نوع II، ۱ دندان (۱/۳۳٪) نوع III بودند. در بین ۷۵ دندان پرهمولر دوم فک پایین ۷۳ دندان (۹۷٪) نوع I، ۲ دندان (۲/۶۶٪) نوع II بودند. نوع III و IV در دندان‌های پرهمولر دوم فک پایین مورد مطالعه مشاهده نشد (شکل ۱).

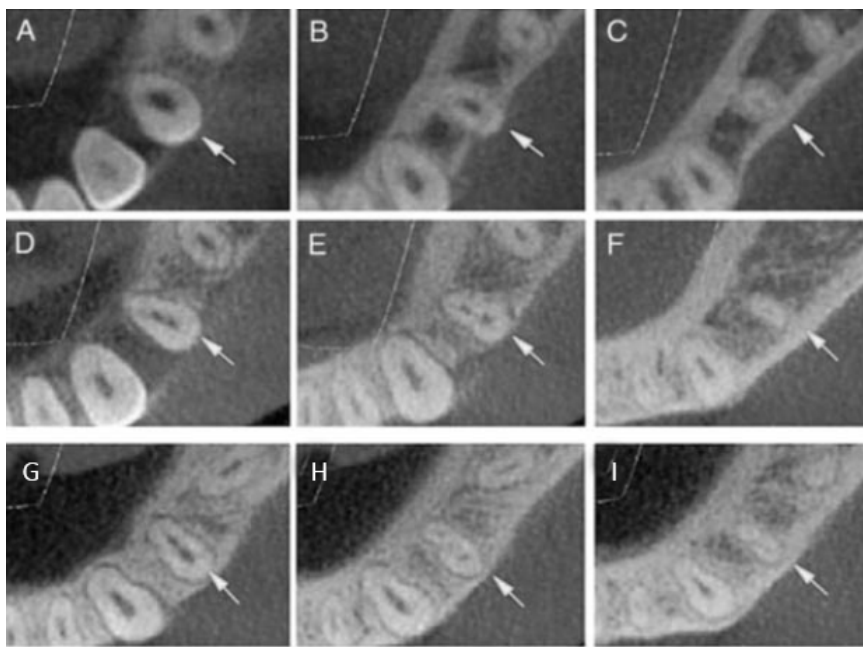
از ۷۵ دندان پرهمولر اول فک پایین در مجموع ۳ دندان (۴٪) دو کanalه بودند و تنها یک دندان (۱/۳۳٪) دو سوراخ اپیکال جداگانه داشت. دندان پرهمولر دوم فک پایین با دو سوراخ اپیکال مجزا مشاهده نشد. نتایج در جدول ۱ خلاصه شده است.

توجه به محدودیت تعداد بررسی‌های انجام شده در ایران، شیوه اندودنتیستی شکل کanal ریشه دندان‌های پرهمولر فک پایین در CBCT بیماران اهوازی ارزیابی شود.

مواد و روش‌ها

در مطالعه توصیفی و گذشته‌نگر حاضر، تصاویر CBCT ذخیره شده ۵۰۰ بیمار مراجعه کننده به بخش رادیولوژی فک و صورت دانشکده دندان‌پزشکی جندی‌شاپور اهواز و سایر مراکز رادیولوژی سطح شهر در بازه‌ی زمانی دی ماه ۱۳۹۲ تا شهریور ۱۳۹۴ بررسی شد. این تصاویر جهت ارزیابی قبل، حین و بعد از درمان ایمپلنت یا بررسی وضعیت دندان عقل در رابطه با کanal مندیبولا ر و یا سایر نیازهای تشخیصی دندان‌پزشکی تجویز شده بودند. فاصله سنی بیماران ۱۹ تا ۶۵ سال بود. معیارهای ورود نمونه، کیفیت مناسب تصاویر جهت مشاهده کanal ریشه دندان، وجود تصویر از ناحیه فک پایین و داشتن حداقل یک دندان پرهمولر در محدوده تصویر بود. دندان‌های پرهمولر در حال تکامل یا در حال رویش از مطالعه حذف شدند. فقط دندان‌های که دارای ریشه سالم بدون شکستگی و تحلیل داخلی یا خارجی بودند به مطالعه وارد شدند. همچنین دندان‌های پرهمولری که درمان ریشه شده بودند و یا پوسیدگی یا رستوریشن وسیع داشتند از مطالعه خارج شدند. در مجموع تصاویر ۶۱ بیمار شامل ۱۵۰ دندان (۷۵ عدد پرهمولر اول و ۷۵ عدد پرهمولر دوم فک پایین) انتخاب شد (d=۰/۹).

مقاطع CBCT اگزیالی با ضخامت و فاصله ۱ میلی‌متر از دندان‌ها تهیه شد. کلیه تصاویر با دستگاه توموگرافی کامپیوتربی پرتو مخروطی (QR, VGI, NewTom, Verona, Italy) تهیه شده بودند. جهت بررسی تصاویر نیز از نرم‌افزار مخصوص آن (NNT, QR, Verona, Italy) استفاده شد. یک رادیولوژیست فک و نسخه ۲/۲۱ نرم‌افزار مخصوص آن (NNT, QR, Verona, Italy) استفاده شد. یک رادیولوژیست فک و صورت و یک اندودنتیست آشنا به ساختار داخلی دندان در تصاویر CBCT، شکل کanalهای ریشه پرهمولرها را در مقاطع اگزیالی دندان بررسی کردند. مشاهده گرها اجازه



شکل ۱: مقاطع اکزیال CBCT در نواحی کرونال (A,C,F,I) ، میانی (B,E,H) و اپیکال (D,G) ریشه دندان‌های پره‌مولر فک پایین. برای شکل کanal ریشه دندان پرمولر مشاهده می‌شود. نوع (A-C) ، نوع II (D-F) و نوع III (G-I) طبقه‌بندی Weiné بر اساس طبقه‌بندی پرمولر مشاهده می‌شود.

جدول ۱: توزیع فراوانی انواع شکل کanal ریشه دندان‌های پره‌مولر فک پایین بر اساس طبقه‌بندی Weiné در تصاویر توموگرافی کامپیوتربی پرتو مخروطی

طبقه‌بندی شکل کanal ریشه					تعداد	نوع دندان
نوع IV تعداد (درصد)	نوع III تعداد (درصد)	نوع II تعداد (درصد)	نوع I تعداد (درصد)			
(٪۰.)۰	(٪۱/۳۳۵) ۱	(٪۲/۶۶۵) ۲	(٪۰۹۶) ۷۲	۷۵	پره‌مولر اول مندیبل	
(٪۰.)۰	(٪۰.)۰	(٪۲/۶۶۵) ۲	(٪۰۹۷/۳۳۵) ۷۳	۷۵	پره‌مولر دوم مندیبل	
(٪۰.)۰	(٪۰/۶۶۵) ۱	(٪۰/۲/۶۶۵) ۴	(٪۰۹۶/۶۷) ۱۴۵	۱۵۰	مجموع	

یک روش تشخیصی معمول قبل از درمان کanal ریشه به دلیل مقدار تشعشع نسبتاً بالا، منطقی نیست ولی استفاده از تصاویر CBCT موجود بیماران که به دلیل سایر نیازهای تشخیصی از قبیل درمان ایمپلنت یا بررسی وضعیت دندان عقل تهیه شده‌اند، مفید به نظر می‌رسد (۲۸). بررسی دقیق شکل کanal ریشه در مورد دندان‌های پره‌مولر که تمايل زیادی به داشتن تنوعات نرمال دارند، حائز اهمیت است. تنوعات زیاد شکل و تعداد ریشه و کanal در دندان‌های پره‌مولر فک پایین باعث شده است این دندان از مشکل‌ترین

بحث

موفقتی درمان اندودنتیک به درک صحیح از آنatomی نرمال کanal ریشه دندان و تنوعات آن بستگی دارد (۲۶، ۲۷). پاکسازی، شکل‌دهی و مسدودسازی صحیح سیستم کanal ریشه در سه‌بعدی فضایی به داشتن دانش مناسب از آنatomی این ساختار سه‌بعدی وابسته می‌باشد (۴-۱). توموگرافی کامپیوتربی پرتو مخروطی با ارایه تصاویر در طرح‌های فضایی مختلف امکان بررسی سه‌بعدی ساختار کanal ریشه را فراهم می‌کند (۳-۱). اگرچه تهیه تصاویر CBCT به عنوان

یک فورامن بودند. این نتایج در تأیید یافته‌های مطالعه حاضر می‌باشد. علاوه بر این Llenda و همکاران (۲۹) تفاوت معنی‌داری را بین تعداد کanal‌هادر دندان‌های پرهمولر اول و دوم فک پایین مشاهده نکردند ولی گزارش کردند که شیوع مشاهده بیش از یک کanal ریشه، در دندان‌های پرهمولر اول فک پایین بیشتر از پرهمولر دوم مندیل می‌باشد. همچنین گزارش کردند که دندان‌های پرهمولر اول فک پایین نسبت به پرهمولر دوم فک پایین، تنوع آناتومیک کanal ریشه بیشتری دارند (۲۹). در مطالعه مشابه Yll و همکاران (۳۰) تعداد و شکل کanal‌های ریشه دندان‌های پرهمولر فک پایین را در چین بررسی کردند. در این مطالعه ۱۴۹ تصویر CBCT بررسی شد که شامل ۱۷۸ پرهمولر اول و ۱۷۸ پرهمولر دوم فک پایین بود. آنها نشان دادند که ۹۸٪ دندان‌های پرهمولر اول تک‌ریشه و ۲٪ دارای دو ریشه بودند. همچنین ۸۷٪ این دندان‌ها یک کanal و ۱۱٪ دو کanal و مابقی ۳ کanal داشتند. علاوه بر این همه دندان‌های پرهمولر دو در این مطالعه یک ریشه داشتند که از میان آنها ۹۷٪ دارای یک کanal و مابقی دارای دو کanal بودند (۳۰). در این مطالعه نیز مانند مطالعه حاضر، بیشتر پرهمولرهای فک پایین دارای یک کanal بودند. Park و همکاران (۱۷) نیز نتایج مشابهی را در بررسی تصاویر CBCT ۴۳۰ بیمار در کشور کره گزارش کردند.

Sandhya و همکاران (۱۹) در یک مطالعه مورفولوژی کanal ریشه دندان‌های پرهمولر اول را در کشور هند بررسی کردند. آنها از تصاویر توموگرافی کامپیوتی اسپیرال (Spiral CT) استفاده نمودند. در این مطالعه تعداد ۱۰۰ دندان کشیده شده انسان تصویربرداری شد. نتایج نشان داد که ۸۰٪ پرهمولرهای اول فک پایین یک کanal داشتند. همچنین مانند مطالعه حاضر، نوع I کanal ریشه شایع‌ترین نوع بود.

لازم به توضیح است که اگرچه بیشتر مطالعات نشان می‌دهند که بیشتر پرهمولرهای فک پایین تک‌ریشه و تک کanal هستند و شایع‌ترین شکل کanal ریشه در آنها نوع

دندان‌ها از نظر انجام درمان ریشه موفق باشد (۱۱، ۱۴). شیوع این تنوعات سیستم کanal ریشه نیز در هر نژاد و منطقه جغرافیایی متغیر می‌باشد و نیاز به بررسی دندان‌پزشکی اختصاصی دارد (۱۵-۱۷).

در این مطالعه شیوع انواع مختلف شکل کanal ریشه پرهمولرهای فک پایین در تصاویر CBCT در شهر اهواز بررسی شد. نتایج نشان داد که نوع I کanal ریشه شایع‌ترین نوع در دندان‌های پرهمولر اول و دوم فک پایین به ترتیب با شیوع ۹۶٪ و ۹۷٪ بود. نوع II طبقه‌بندی فقط در ۶٪ پرهمولرهای اول و دوم فک پایین شیوع داشت. نوع III فقط در پرهمولرهای اول فک پایین مشاهده شد و شیوع ۱/۳٪ داشت. در دندان‌های پرهمولر دوم فک پایین فقط انواع I و II کanal ریشه وجود داشت و نوع III و IV مشاهده نشد. به این ترتیب نوع IV طبقه‌بندی کanal ریشه کمترین شیوع را در بین پرهمولرهای فک پایین داشت. میرزاei و همکاران (۲۴) مطالعه مشابهی را بر روی تصاویر CBCT بیماران همدانی انجام دادند. آنها تعداد ریشه و کanal ۶۶ پرهمولر اول و ۶۶ پرهمولر دوم فک پایین را بررسی کردند و نشان دادند که همه‌ی دندان‌های پرهمولر اول و ۹۸/۵٪ دندان‌های پرهمولر دوم مورد مطالعه تک‌ریشه بودند. آنها همچنین نشان دادند که ۷۵٪ دندان‌های پرهمولر اول و ۹۲٪ دندان‌های پرهمولر دوم فقط یک کanal داشتند که از اتفاقک پالپ به سوراخ انتهای ریشه امتداد داشت (۲۴). این نتیجه در تأیید نتایج مطالعه حاضر بود.

Llenda و همکاران (۲۹) تعداد ریشه و کanal‌های ۱۲۶ دندان‌های پرهمولر فک پایین را در تصاویر ۷۰ CBCT بیمار اسپانیایی بررسی کردند. آنها گزارش کردند که حدود ۸۳٪ دندان‌های پرهمولر فک پایین در این مطالعه دارای یک کanal، حدود ۱۶٪ دارای دو کanal و کمتر از ۱٪ دارای سه کanal هستند. در این مطالعه بیشتر دندان‌های پرهمولر اول (۴۸٪) و دو (۵٪) فک پایین فقط یک کanal داشتند که از اتفاقک پالپ به سوراخ انتهای ریشه امتداد داشت. همچنین بیشتر دندان‌های پرهمولر مورد مطالعه دارای یک ریشه و

سطح وسیع تری انجام گیرد. همچنین توصیه می‌شود بررسی در نقاط مختلف جغرافیایی کشور انجام شود تا شیوع انواع شکل و تعداد کanal و ریشه هر دندان در جمعیت ایرانی مشخص گردد.

نتیجه‌گیری

بر اساس نتایج مطالعه حاضر، بیشتر دندان‌های پره‌مولر فک پایین یک ریشه و یک کanal داشتند و نوع I طبقه‌بندی Weine شایع‌ترین شکل کanal ریشه در دندان‌های پره‌مولر اول و دوم فک پایین بود. به علاوه، نوع IV نادرترین نوع کanal ریشه در پره‌مولرهای مندیبل گزارش شد.

* این مقاله منتج از پایان‌نامه دانشجویی به شماره ۹۲/۰۱۴ بوده و کلیه حقوق این طرح برای دانشگاه علوم پزشکی جندی‌شاپور اهواز محفوظ است.

I است، ولی فراوانی تعداد ریشه و کanal و مورفولوژی کanal در مطالعات مختلف متفاوت گزارش شده است (۱۵-۱۸). علت اختلافات می‌تواند مربوط تفاوت در نمونه‌ها از نظر تعداد، نژاد و منطقه جغرافیایی و یا تفاوت در روش مطالعه (به عنوان مثال انجام بررسی روی بیمار یا دندان کشیده شده) و همچنین تفاوت در طبقه‌بندی مورد استفاده برای تعیین شکل کanal و در نهایت تجربه و تشخیص مشاهده‌گرها باشد.

شایان ذکر است که این مطالعه دارای محدودیت‌هایی نیز بود. با توجه به اینکه بیشتر تصاویر CBCT جهت بررسی نواحی بی‌دندانی کاندید ایمپلنت و با فیلد تصویر محدود به نواحی مورد نظر تهیه می‌شوند، یافتن تصاویر فک پایین دارای دندان پره‌مولر با معیارهای ورود این مطالعه مشکل بود و محدودیت در تعداد نمونه‌ها وجود داشت. بنابراین توصیه می‌شود که مطالعات بعدی با حجم نمونه بیشتر و در

References

1. Durack C, Patel S. Cone beam computed tomography in endodontics. *Braz Dent J*. 2012;23(3):179-91.
2. Matherne RP, Angelopoulos C, Kulild JC, Tira D. Use of cone-beam computed tomography to identify root canal systems in vitro. *J Endod* 2008;34(1):87-9.
3. Michetti J, Maret D, Mallet J-P, Diemer F. Validation of cone beam computed tomography as a tool to explore root canal anatomy. *J Endod* 2010;36(7):1187-90.
4. Scarfe WC, Levin MD, Gane D, Farman AG. Use of cone beam computed tomography in endodontics. *Int J Dent* 2009; 2009: 634567.
5. Farhadi N, Shokraneh A, Mehdizadeh M. Effect of Contrast Inversion Enhancement on the Accuracy of Endodontic File Length Determination in Digital Radiography. *J Clin Diagn Res* 2015;9(5): ZC102–5.
6. Mehdizadeh M, Khademi AA, Shokraneh A, Farhadi N. Effect of digital noise reduction on the accuracy of endodontic file length determination. *Imaging Sci Dent* 2013;43(3):185-90.
7. Mehdizadeh M, Khademi A, Shokraneh A, Farhadi N. Evaluation of the effect of digital magnification on the accuracy of endodontic file length determination. *J Isfahan Dent Sch* 2015;11(4):267-74.
8. Dabbagh A, Shokraneh A, Farhadi N. The accuracy of single emulsion radiographic film in linear measurement of spiral tomography. *Dent Res J* 2013; 10(2): 197-201.
9. Mehdizadeh M, Mehrabi A, Farhadi N. Evaluation of accuracy of conventional spiral tomography in estimating alveolar bone height of mandible in implant treatments. *J Isfahan Dent Sch* 2014; 10(6): 450-6.
10. Dabbagh A, Rajaei E, Shokraneh A, Tabesh H, Farhadi N. Evaluation of measurement accuracy of the mandible in linear and spiral tomograms. *J Isfahan Dent Sch* 2012; 8(4): 347-55.
11. de Pablo OV, Estevez R, Sanchez MP, Heilborn C, Cohenca N. Root anatomy and canal configuration of the permanent mandibular first molar: A systematic review. *J Endod* 2010;36(12):1919-31.
12. Kim Y, Lee SJ, Woo J. Morphology of maxillary first and second molars analyzed by cone-beam computed tomography in a Korean population: Variations in the number of roots and canals and the incidence of fusion. *J Endod* 2012;38(8):1063-8.

13. Zhang R, Wang H, Tian YY, Yu X, Hu T, Dummer PMH. Use of cone-beam computed tomography to evaluate root and canal morphology of mandibular molars in Chinese individuals. *Int Endod J* 2011;44(11):990-9.
14. Yoshioka T, Villegas JC, Kobayashi C, Suda H. Radiographic evaluation of root canal multiplicity in mandibular first premolars. *J Endod* 2004;30(2):73-4.
15. Jain A, Bahuguna R. Root canal morphology of mandibular first premolar in a gujarati population-an in vitro study. *Dent Res J* 2011;8(3):118-21.
16. Awawdeh L, Al-Qudah A. Root form and canal morphology of mandibular premolars in a Jordanian population. *Int Endod J* 2008;41(3):240-8.
17. Park JB, Kim N, Park S, Kim Y, Ko Y. Evaluation of root anatomy of permanent mandibular premolars and molars in a Korean population with cone-beam computed tomography. *Eur J Dent* 2013;7(1):94-101.
18. Lu TY, Yang SF, Pai SF. Complicated root canal morphology of mandibular first premolar in a Chinese population using the cross section method. *J Endod* 2006;32(10):932-6.
19. Sandhya R, Velmurugan N, Kandaswamy D. Assessment of root canal morphology of mandibular first premolars in the Indian population using spiral computed tomography: An in vitro study. *Indian J Dent Res* 2010;21(2):169-73.
20. Zheng Qh, Wang Y, Zhou X-d, Wang Q, Zheng G-n, Huang D-m. A cone-beam computed tomography study of maxillary first permanent molar root and canal morphology in a Chinese population. *J Endod* 2010;36(9):1480-4.
21. Silva E, Nejaim Y, Silva AV, Haitec-Neto F, Cohenca N. Evaluation of root canal configuration of mandibular molars in a Brazilian population by using cone-beam computed tomography: An in vivo study. *J Endod* 2013;39(7):849-52.
22. Han T, Ma Y, Yang L, Chen X, Zhang X, Wang Y. A study of the root canal morphology of mandibular anterior teeth using cone-beam computed tomography in a Chinese subpopulation. *J Endod* 2014;40(9):1309-14.
23. Aminosobhani M, Sadegh M, Meraji N, Razmi H, Kharazifard MJ. Evaluation of the root and canal morphology of mandibular permanent anterior teeth in an Iranian population by cone-beam computed tomography. *J Dent* 2013;10(4):358-66.
24. Mirzaie M, Tork Zaban P, Mohammadi V. Cone-beam Computed Tomography Study of Root Canals in a Hamadani Population in Iran. *Avicenna J Dent Res* 2012;4(2):25-31.
25. Cohn SA. Endodontic Therapy 6th ed: By Franklin S. Weine. *Aust Endod J* 2004;30(1):33.
26. Shokraneh A, Farhad AR, Farhadi N, Saatchi M, Hasheminia SM. Antibacterial effect of triantibiotic mixture versus calcium hydroxide in combination with active agents against *Enterococcus faecalis* biofilm. *Dent Mater J* 2014;33(6):733-8.
27. Hasheminia SM, Farhadi N, Shokraneh A. Effect of Patency File on Transportation and Curve Straightening in Canal Preparation with ProTaper System. *ISRN Dent* 2013;12(2013):704027.
28. Jeger FB, Janner SF, Bornstein MM, Lussi A. Endodontic working length measurement with preexisting cone-beam computed tomography scanning: A prospective, controlled clinical study. *J Endod* 2012;38(7):884-8.
29. Llena C, Fernandez J, Ortolani PS, Forner L. Cone-beam computed tomography analysis of root and canal morphology of mandibular premolars in a Spanish population. *Imag Sci Dent* 2014;44(3):221-7.
30. Yu X, Guo B, Li K-Z, Zhang R, Tian YY, Wang H, et al. Cone-beam computed tomography study of root and canal morphology of mandibular premolars in a western Chinese population. *BMC Med Imag* 2012;12(1):18-22.

Evaluation of root canal morphology of mandibular premolar teeth using cone-beam computed tomography

Parnian Alavinejad¹

Behrokh Charoosaei²

Nastaran Farhadi³

1. Assistant Professor, Department of Endodontic, School of Dentistry, Ahvaz Jundishapur University of Medical Sciences, Ahvaz, Iran.

2. Dental Student School of Dentistry, Ahvaz Jundishapur University of Medical Sciences, Ahvaz, Iran.

3. **Corresponding Author:** Assistant Professor, Department of Oral and Maxillofacial Radiology, School of Dentistry, Ahvaz Jundishapur University of Medical Sciences, Ahvaz, Iran. **Email:** nastaranfarhadi@yahoo.com

Abstract

Introduction: Awareness of root canal anatomy and morphology of the teeth is important in endodontic treatment. It is possible to evaluate root canal anatomy in three spatial planes with the use of cone-beam computed tomography. The aim of this study was to evaluate the prevalence of different configurations of root canal anatomy of mandibular premolar teeth using cone-beam computed tomography.

Materials & Methods: In this retrospective descriptive study, CBCT images of 61 patients, including 150 mandibular premolars (75 first premolars and 75 second premolars) were selected. Axial sections with 1-mm slice thickness and distance were reconstructed. One endodontist and one radiologist evaluated the root canal morphology of the teeth on the images. Weine classification of root canal configuration, consisting of four groups was used. Data were collected and the frequency of different configurations of root canal morphology of mandibular premolar teeth was determined using descriptive statistics.

Results: Of 75 mandibular first premolars, 72 teeth (96%) were type I, 2 teeth (2.665%) were type II and 1 tooth (1.335%) was type III. Of 75 mandibular second premolars, 73 teeth (97.33%) were type I, 2 teeth (2.665%) were type II. Type III and IV were not seen in mandibular seconds premolars.

Conclusion: Based on the results of the present study, type I of Weine classification was the most frequent root canal morphology in mandibular first and second premolars. In addition, type IV was the least frequent root canal morphology of mandibular premolars.

Key words: Cone-Beam Computed Tomography, Mandible, Tooth.

Received: 19.5.2016

Revised: 18.9.2016

Accepted: 27.9.2016

How to cite: Alavinejad P, Charoosaei B, Farhadi N. Evaluation of root canal morphology of mandibular premolar teeth using cone-beam computed tomography. J Isfahan Dent Sch 2016; 12(4): 374-381.